

[REDACTED]

Development of the Condition Agreement of the ...

[REDACTED]

The table consists of approximately 10 columns and 20 rows. The content is mostly obscured by horizontal lines and noise. Some faint text is visible in the top row, possibly including a title or header information. The table appears to be a data table or a list of entries, but the specific details are not legible.

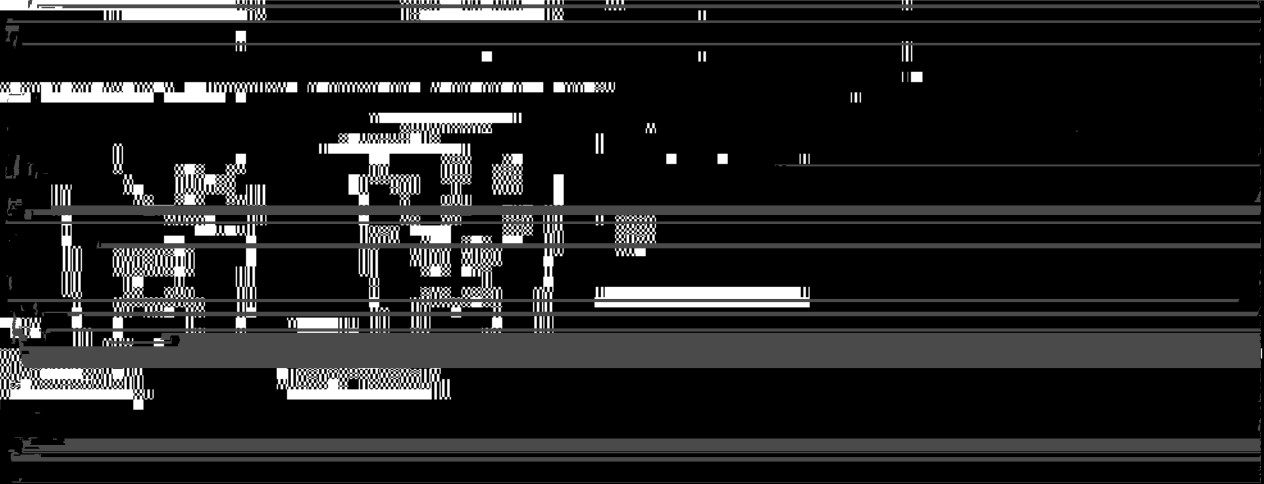


Table 1. Comparison of the performance of beads.

項目	rhTPO	TMA
粒径	100 nm	100 nm
形状	球形	球形
表面積	高	高
安定性	高	高
反応性	高	高

本研究では、*S. pneumoniae* の抗原を、*S. pneumoniae* の細胞壁成分であるペプチド糖 (PGC) と結合させた。PGC は、*S. pneumoniae* の細胞壁に存在する多糖類であり、*S. pneumoniae* の抗原性を決定する重要な成分である。本研究では、PGC を抗原として用いた。PGC は、*S. pneumoniae* の細胞壁に存在する多糖類であり、*S. pneumoniae* の抗原性を決定する重要な成分である。本研究では、PGC を抗原として用いた。

の違う抗原の選定は必要としなかった。

(n) 100



応性について

rhTPO

TMA

0.1%

0.5%

1%

5%

10%

50%

100%

100%

100%

100%

100%

100%

100%

100%

100%

100%

100%

100%

100%

100%

100%

100%

100%

100%

100%

100%

100%

100%

100%

100%

100%

100%

100%

100%

100%

100%

100%

100%

100%

100%

100%

100%

100%

100%

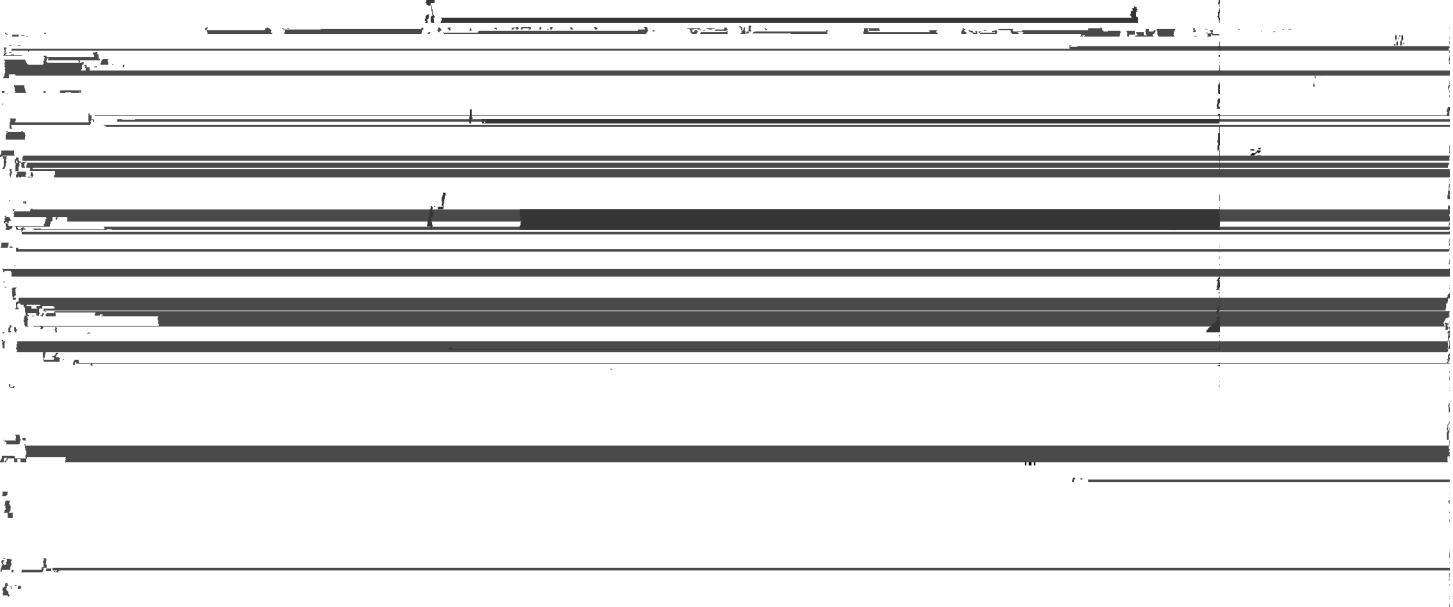
100%

Solid Phase: Parylene beads

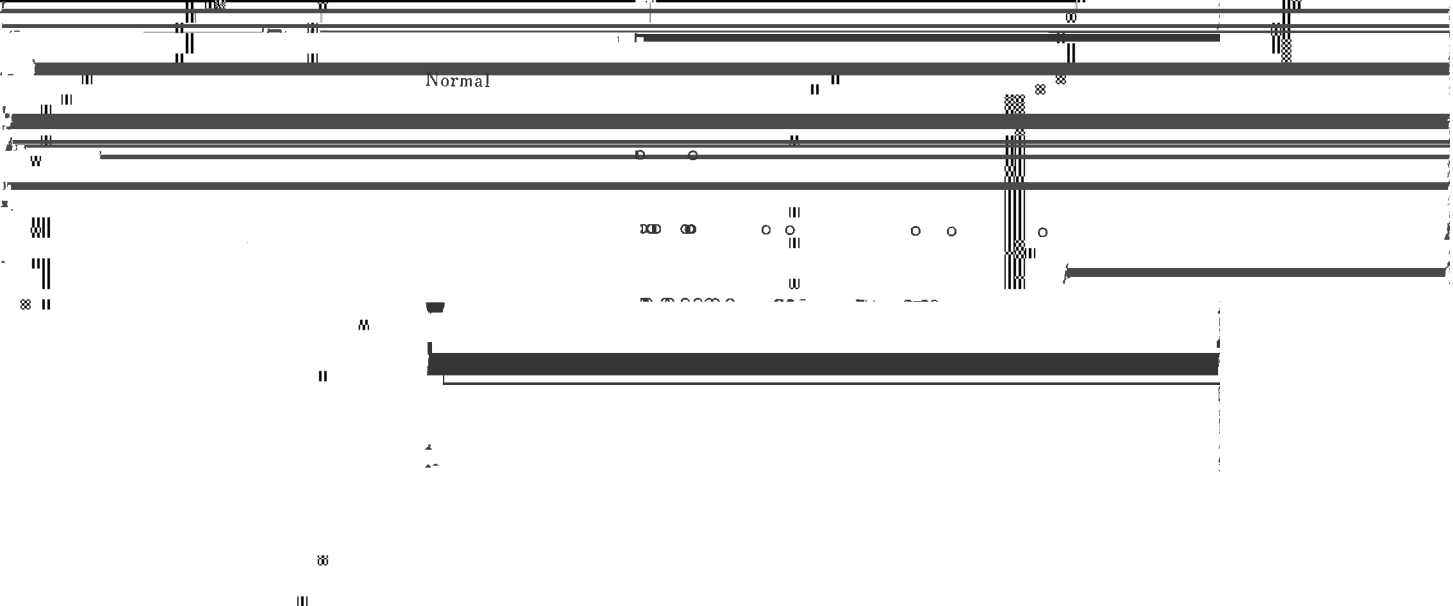
\sqrt{SB} (m²/sec)

最小検出感度)

ヒト血清成分中にはオウゴン因子、抗動物オムネグリン



Normal



参 考 文 献

1) 等木資治, 高坂唯子; ホルモンと臨床 43 727
 Journal, 40, 317, (1993)
 5) J. G. Kenna, G. N. Major; Journal of
 Immunological Methods 85 409 (1985)